

УДК 539.3

Н.Н.Волосова, В.И.Сарандачев, П.А. Стеблянко

## СОПОСТАВЛЕНИЕ МЕТОДОВ РАСЧЕТА НЕСТАЦИОНАРНОГО ТЕРМОУПРУГОПЛАСТИЧЕСКОГО СОСТОЯНИЯ НА ПРИМЕРЕ НЕКОТОРЫХ ДЕТАЛЕЙ МЕТАЛЛУРГИЧЕСКОГО ОБОРУДОВАНИЯ

*Порівняння результатів з аналогічними результатами, отриманими за допомогою метода покомпонентного розщеплення підвищеної точності і кінцево-різницевого методу, показало добре співпадання результатів в околі середини валка, а по мірі наближення до краю, де стан є неодномірним за осьовою і радіальною координатах, результати можуть суттєво відрізнятися. В околі краю валка, де стан є неодномірним за осьовою і радіальною координатах, для розрахунків температурного напружено-здеформованого стану доцільно застосовувати метод покомпонентного розщеплення підвищеної точності, оскільки він дає більш точні результати у вузлах просторової сітки, ніж кінцево-різницевий метод.*

**Введение.** Долговечность валков станов горячей прокатки зависит от величины и характера их нагружения. Однако, наряду с указанными факторами, значительное влияние на долговечность оказывают температурные условия работы валков.

Степень нагрева валков в процессе прокатки зависит от величины обжатия, механических свойств прокатываемого металла, трения в очаге деформации, скорости и времени процесса прокатки, подачи охлаждающей эмульсии, коэффициентов теплопроводности, конвенции, излучения и т.д. Нагрев валков определяет их профиль и, следовательно, влияет на условия деформации металла, как по длине, так и по ширине полосы.

В связи с развитием непрерывных станов и тенденцией роста скоростей прокатки тепловой баланс и температурный режим работы валков приобретает большое значение.

Особенностью работы валков станов горячей прокатки является периодичность их нагрева от прокатываемого металла и охлаждение водой. В процессе нагрева и охлаждения в поверхностном слое валков возникает переменное температурное поле, под действием которого появляются значительные циклические температурные напряжения. Величина этих напряжений, в зависимости от режимов работы прокатного стана, может в значительной степени превышать предел текучести материала и являться основной причиной возникновения сетки разгара и последующей термической усталости [1].

При горячей прокатке наибольшее напряжение на поверхность валка в зоне контакта с прокатываемым металлом. Однако в этой зоне материал находится в условиях всестороннего сжатия, а в таких случаях допускаемые напряжения практически в 4 раза могут превышать предел

текучести. Таким образом, разработка более точных методов расчета термонапряженного состояния таких деталей metallургических конструкций является актуальной задачей.

В работах [3-4] решен ряд нестационарных задач механики деформируемого твердого тела, где применялись физические соотношения теории термоупругопластиности, позволяющие описывать простые и близкие к простым процессы деформирования и процессы деформирования по траекториям малой кривизны [7]. Связанные нестационарные задачи решены в работах [5, 6, 9].

Одним из наиболее эффективных приемов при численном решении пространственных нестационарных задач теории термоупругопластиности является подход, основанный на использовании для определения неизвестных величин, метода дробных шагов или метода покомпонентного расщепления [3, 4, 8] в сочетании с представлением искомых величин в виде сплайн-функций [3-6, 8, 9]. Преимущество данного подхода обусловлено тремя факторами. Он не сложнее в реализации, чем конечно-разностный метод [3-4]. Решение находится в виде сплайна во всей области определения, в то время как разностное решение ищется только на сетке. Дает более высокий порядок аппроксимации, что позволяет выбирать более крупную сетку по координатам по сравнению с конечно-разностным методом при условии достижения одинаковой точности вычислений [2, 4].

**Постановка нестационарных задач теории термоупругопластиности.** Основной задачей нестационарной теории термоупруго-пластиности является определение перемещений (скоростей перемещений) и компонент тензоров напряжений и деформаций, возникающих в пространственном теле в процессе его нагружения, когда некоторые элементы тела работают за пределом упругости материала. Процесс нагружения будем рассматривать развивающимся во времени, что может вызвать движение отдельных частей тела.

Пусть первоначально изотропное и однородное тело  $V$ , ограниченное поверхностью  $S$ , в начальный момент времени  $t=0$  находится в естественном ненапряженном состоянии, где  $\alpha^i$  - оси произвольной ортогональной системы координат,  $i = 1, 2, 3$ . Затем тело подвергается нагружению внешними силами и нагреву. Это могут быть объемные силы  $\vec{K}(\alpha^i, t)$ , действующие на каждый элемент тела, и поверхностные силы  $\vec{\Sigma}_n(\alpha^i, t)$ , действующие на части поверхности тела  $S_\Sigma$ . На другой части поверхности тела  $S_v$ , которая может быть определенным образом закреплена, задаются скорости перемещений  $\vec{V}(\alpha^i, t)$ . Конфигурация тела задается уравнением поверхности  $\Phi(\alpha^i) = 0$ , которая ограничивает его. Механические характеристики материала при исследовании процессов деформирования по прямолинейным траекториям и траектория малой кривизны задаются в виде мгновенных диаграмм растяжения образцов.

Исходя из перечисленных данных, необходимо определить температурное поле, составляющие вектора скорости перемещений, компоненты тензора напряжений и компоненты тензора деформаций. Для этого необходимо воспользоваться уравнениями движения, геометрическими, физическими уравнениями и уравнением теплопроводности.

При решении нестационарной задачи теории пластичности в тех частях тела, где возникают необратимые деформации, будем пользоваться определяющими уравнениями, описывающими процессы нагружения как по прямолинейным траекториям, так и по траекториям деформирования малой кривизны. Здесь используется форма физических уравнений, приведенная в монографии [3].

Полная система уравнений в общем случае имеет вид [3-4]

$$\frac{\partial \vec{W}}{\partial t} = A_1 \frac{\partial \vec{W}}{\partial \alpha} + A_2 \frac{\partial \vec{W}}{\partial \beta} + A_3 \frac{\partial \vec{W}}{\partial \gamma} + \vec{B}, \quad (1)$$

где  $\vec{W}$  - вектор, компонентами которого будут скорости перемещений  $v_i$ , составляющие тензоров напряжений и деформаций  $\sigma_{ij}, \varepsilon_{ij}, i, j = 1, 2, 3$ . Система (1) решается при определенных начальных и граничных условиях.

Нестационарное трехмерное уравнение теплопроводности, используемое при решении связанных задач механики деформируемого твердого тела, имеет вид

$$\frac{\partial T}{\partial t} = \frac{a}{H_1 H_2 H_3} \left[ \frac{\partial}{\partial \alpha} \left( \frac{H_2 H_3}{H_1} \frac{\partial T}{\partial \alpha} \right) + \frac{\partial}{\partial \beta} \left( \frac{H_1 H_3}{H_2} \frac{\partial T}{\partial \beta} \right) + \frac{\partial}{\partial \gamma} \left( \frac{H_1 H_2}{H_3} \frac{\partial T}{\partial \gamma} \right) + \frac{W_*}{\lambda} \right], \quad (2)$$

где

$$W_* = S_{ij} \dot{Y}_{ij} - \frac{S_{ij} \dot{S}_{ij}}{2G} + \frac{\sigma_{ij}}{3} (\dot{\varepsilon}_{ij} - 3\alpha \dot{T}) - \frac{\sigma_{ii} \dot{\sigma}_{ii}}{9K}, \quad (3)$$

$$S_{ij} = \sigma_{ij} - \delta_{ij} \sigma, \quad \dot{Y}_{ij} = \varepsilon_{ij} - \delta_{ij} \varepsilon, \quad \sigma = \frac{\sigma_{11} + \sigma_{22} + \sigma_{33}}{3}, \quad \varepsilon = \frac{\varepsilon_{11} + \varepsilon_{22} + \varepsilon_{33}}{3},$$

$$G = \frac{E}{2(1+\nu)}, \quad K = \frac{E}{1-2\nu},$$

$H_1, H_2, H_3$  - коэффициенты Ляме,  $a$  - коэффициент температуропроводности,  $\lambda$  - коэффициент теплопроводности,  $E$ -модуль Юнга,  $\nu$ - коэффициент Пуассона. Точкой сверху обозначены скорости (производные по времени) от соответствующих величин.

При решении нестационарных пространственных задач в цилиндрической системе координат  $r, \varphi, x$  в уравнении (2) следует положить  $H_1 = H_3 = 1, H_2 = r, \alpha = r, \beta = \varphi, \gamma = x$ . Тогда из уравнения (2) получим

$$\frac{\partial T}{\partial t} = a \left[ \frac{\partial^2 T}{\partial r^2} + \frac{1}{r} \cdot \frac{\partial T}{\partial r} + \frac{1}{r^2} \cdot \frac{\partial^2 T}{\partial \varphi^2} + \frac{\partial^2 T}{\partial x^2} \right] + \frac{a W_*}{\lambda r}. \quad (4)$$

**Аналитический метод решения.** Аналитическое определение температуры и напряжений в прикладной задаче для валка блюминга 1150 (сталь 50ХН, минимальный катающий диаметр  $d = 900 \text{ мм}$ , длина  $l=2700 \text{ мм}$ ) оказалось возможным лишь в упрощенной одномерной постановке[1]. Приведем основные результаты.

Температурное поле рассматриваемого цилиндрического тела, нагреваемого через единицу поверхности граничной плоскости, имеет вид

$$T = \frac{2q\sqrt{t}}{\sqrt{\pi\lambda c\rho}} \left\{ e^{-\frac{x^2}{4at}} - \sqrt{\pi} \frac{x}{2\sqrt{at}} \left[ 1 - \hat{O}\left(\frac{\delta}{2\sqrt{at}}\right) \right] \right\}, \quad (5)$$

где  $T$  – температура,  $^{\circ}\text{C}$ ;  $t$  – время контакта;  $a = \frac{\lambda}{c\rho}$  – коэффициент теплопроводности, характеризующий быстроту выравнивания температур различных точек температурного поля валка;  $x$  – осевая координата;  $c$  – теплоемкость материала валка;  $\rho$  – плотность материала валка,  $q$  – тепловой поток;  $q = \alpha(t_2 - t_1)$ ,  $\alpha$  – коэффициент теплоотдачи через окалину;  $\alpha = \frac{\lambda}{s}$ ;  $\lambda$  – теплопроводность окалины;  $s$  – толщина;  $\Phi\left(\frac{x}{2\sqrt{at}}\right)$  – интегралы вероятности распределения ошибок.

Для определения температурных напряжений рабочего валка получены формулы, справедливые при симметричном распределении температур относительно оси валка

$$\sigma_z = \frac{E\alpha}{1-\mu} \left( \frac{2}{R^2 - r_0^2} \int_{r_0}^R Tr dr - T \right); \quad (6)$$

$$\sigma_t = \frac{E\alpha}{1-\mu} \left( \frac{1}{r^2} \int_0^r Tr dr + \frac{r^2 + r_0^2}{r^2(R^2 - r_0^2)} \int_0^R Tr dr - T \right); \quad (7)$$

$$\sigma_r = \frac{E\alpha}{1-\mu} \left( -\frac{1}{r^2} \int_{r_0}^R Tr dr + \frac{r^2 + r_0^2}{r^2(R^2 - r_0^2)} \int_{r_0}^R Tr dr - T \right); \quad (8)$$

где  $\sigma_z, \sigma_t, \sigma_r$  – соответственно осевое, окружное и радиальное нормальные напряжения;  $\alpha$  – коэффициент линейного расширения материала валка;  $E$ ,  $\mu$  – модуль упругости и коэффициент Пуассона соответственно;  $R$ ,  $r$ , – соответственно, радиус поверхности валка, текущий радиус.

Расчеты по формулам показывают, что максимальные температурные напряжения в поверхностном слое валка, с учетом промежуточного слоя окалины, наблюдаются при наиболее длительном времени контакта с разогретым металлом. При этом температура поверхности валка в месте контакта достигает  $450^{\circ}\text{C}$ . При установившемся режиме прокатки температура поверхности валка не превышает  $300^{\circ}\text{C}$ .

**Конечно-разностный метод.** Для сравнения результатов рассмотрим конечно-разностный подход к решению нестационарной двухмерной задачи теории термоупругопластичности и нестационарного уравнения теплопроводности. Введем в рассмотрение сетку по времени  $\omega_r$  и сетку по координатам  $\omega_h$

$$\omega_r = \left\{ t_p; t_{p+1} = t_p + \tau; t_0 = 0; p = 0, 1, 2, \dots \right\}, \quad (9)$$

$$\omega_h = \left\{ \begin{array}{l} r_i, \varphi_j, x_k; r_{i+1} = r_i + h_1; \varphi_{j+1} = \varphi_j + h_\varphi; x_{k+1} = x_k + h_3; \\ i = 0, 1, \dots, N_1; j = 0, 1, \dots, N_2; k = 0, 1, \dots, N_3. \end{array} \right\}. \quad (10)$$

Неявная разностная схема в произвольном узле  $r_i, \varphi_j, x_k$  выглядит так

$$\begin{aligned} \frac{T^{p+1/3} - T^p}{\tau} &= \frac{a}{h_1^2} \left[ \alpha \left( \mu_1(T^{p+1}) + \frac{h_1}{r_i} \lambda_1(T^{p+1}) \right) + \beta \left( \mu_1(T^p) + \frac{h_1}{r_i} \lambda_1(T^p) \right) \right] + \\ &+ \frac{a}{r_i^2 h_\varphi^2} \left[ \alpha \mu_2(T^{p+1}) + \beta \mu_2(T^p) \right] + \frac{a}{h_3^2} \left[ \alpha \mu_3(T^{p+1}) + \beta \mu_3(T^p) \right] + \frac{W_*^p(r_i, \varphi_j, x_k)}{\rho c r_i}. \end{aligned} \quad (11)$$

Здесь  $\alpha + \beta = 1$ ,  $\lambda_n, \mu_n$  ( $n = 1, 2, 3$ ) – разностные операторы, аппроксимирующие производные соответственно первого и второго порядка по координатам [3, 4].

Для явной схемы ( $\alpha = 0, \beta = 1$ ) на основании (11) можно записать

$$T^{p+1} = T^p + \tau a \left\{ \frac{1}{h_1^2} \left( \mu_1(T^p) + \frac{h_1}{r_i} \lambda_1(T^p) \right) + \frac{\mu_2(T^p)}{r_i^2 h_\varphi^2} + \frac{\mu_3(T^p)}{h_3^2} \right\} + \tau \frac{W_*^p(r_i, \varphi_j, x_k)}{\rho c r_i}. \quad (12)$$

Перейдем к решению системы (1). Обозначим через  $W_m^p$  компоненты вектора  $\vec{W}$ , которые вычисляются в момент времени  $t=t_p$ . Аналогичные обозначения вводятся и для составляющих вектора  $\vec{B}$ . При переходе от уравнений полной системы к разностной схеме их решения производные по времени и по координатам заменяются разностными отношениями.

Неявная схема конечно-разностного метода для определения неизвестных величин, позволяют получить такие формулы

$$\frac{W_m^{p+1} - W_m^p}{\tau} = \alpha (\Lambda_1 W_m + \Lambda_2 W_m + \Lambda_3 W_m)^{p+1} + \beta (\Lambda_1 W_m + \Lambda_2 W_m + \Lambda_3 W_m)^p + B_m^p. \quad (13)$$

Здесь  $\alpha + \beta = 1$ , а также введены обозначения для дифференциального оператора первого порядка  $\Lambda_s W_m \equiv A_s \frac{\partial W_m}{\partial \alpha_s}, s = 1, 2, 3$ . Суммирование по  $s$  не ведется [4].

В случае применения явной схемы ( $\alpha = 0, \beta = 1$ ) из (13) получим

$$W_m^{p+1} = W_m^p + \tau (\Lambda_1 W_m + \Lambda_2 W_m + \Lambda_3 W_m)^p + \tau B_m^p. \quad (14)$$

Для случая осесимметричного состояния тела при использовании схемы Кранка-Николсона ( $\alpha = \beta = 0,5$ ), формулы (13), (14) перепишутся так

$$W_m^{p+1} = W_m^p + \tau (\Lambda_1 W_m + \Lambda_3 W_m)^p + \tau B_m^p, \quad (15)$$

$$(W_m)_{n+1}^{p+1} = W_m^p + \frac{\tau}{2} \left\{ (\Lambda_1 W_m + \Lambda_3 W_m)_n^{p+1} + (\Lambda_1 W_m + \Lambda_3 W_m)_n^p + 2B_m^p \right\}. \quad (16)$$

**Метод расщепления повышенной точности.** Применим к векторному уравнению (1) в случае осесимметричного нагружения метод покомпонентного расщепления [4]. Введем в рассмотрение сетку по времени  $\omega_r$  с учетом дробного шага.

$$\omega_r = \{t_p; t_{p+1/2} = t_p + \tau; t_{p+1} = t_{p+1/2} + \tau; \tau = \tau_1 + \tau_2; t_0 = 0, p = 0, 1, 2, \dots\}$$

Идея метода покомпонентного расщепления состоит в том, что вместо векторного уравнения  $\frac{\partial \vec{W}}{\partial t} = A_1 \frac{\partial \vec{W}}{\partial r} + A_3 \frac{\partial \vec{W}}{\partial z} + \vec{A}$  на полном шаге интегрирования по времени  $\tau$  ( $t \in [t_p; t_{p+1}]$ ) последовательно решаются два эквивалентных ему одномерных векторных уравнения, каждое на своем дробном шаге по времени. Эти уравнения имеют вид

$$\frac{\partial \vec{W}}{\partial t} = A_1 \frac{\partial \vec{W}}{\partial r} + \phi_1 \vec{B}, \quad t \in [t_p, t_{p+1/2}], \quad \frac{\partial \vec{W}}{\partial t} = A_3 \frac{\partial \vec{W}}{\partial z} + \phi_2 \vec{B}, \quad t \in [t_{p+1/2}, t_{p+1}], \quad (17)$$

где  $\phi_1 + \phi_2 = 1$ ,  $t_p$  – момент времени, в который решение задачи уже известно,  $t_{p+1}$  – момент времени, в который решение разыскивается.

Разностная схема для расщепленной системы (17) может быть представлена так

$$\begin{aligned} \frac{1}{\tau} (\vec{W}^{p+1/2} - \vec{W}^p) &= \alpha \Lambda_1 \vec{W}^{p+1/2} + \beta \Lambda_3 \vec{W}^p + \phi_1 \vec{B}^p, \\ \frac{1}{\tau} (\vec{W}^{p+1} - \vec{W}^{p+1/2}) &= \alpha \Lambda_3 \vec{W}^{p+1} + \beta \Lambda_1 \vec{W}^{p+1/2} + \phi_2 \vec{B}^{p+1/2}, \end{aligned} \quad (18)$$

где  $\alpha + \beta = 1$ , а дифференциальные операторы  $\Lambda_n \vec{W}$  вводятся следующим образом  $\Lambda_1 \vec{W} = \frac{A_1}{h_1} \cdot \lambda_1(\vec{W})$ ,  $\Lambda_3 \vec{W} = \frac{A_3}{h_3} \cdot \lambda_3(\vec{W})$ ,  $n = 1, 2$ .

Здесь  $\lambda_n(\dots)$  – разностные операторы,  $\vec{W}^{p+n/2}$ ,  $\vec{B}^{p+n/2}$  – векторы решения и правой части для соответствующего момента времени,  $h_n$  – шаги интегрирования по координатам  $r, z$ .

В случае, когда  $\alpha = 0, \beta = 1$ , схема (18) будет явной. Тогда расчетные формулы можно представить так

При  $\alpha = 1, \beta = 0$  выражение (18) дает неявную схему. Если же  $\alpha = \beta = 1/2$ , то имеет место схема Кранка–Николсона, которая в отличии от двух предыдущих схем первого порядка имеет второй порядок аппроксимации

по времени. Решение системы (18) предлагается строить при помощи следующей итерационной процедуры

$$(\vec{W}^{p+1/2})_{i+1} = \vec{W}^p + \tau \frac{A_1}{h_1} \left\{ \alpha \lambda_1 (\vec{W}^{p+1/2})_i + \beta \lambda_1 (\vec{W}^p) \right\} + \tau \phi_1 \vec{B}^p, \quad (19)$$

$$(\vec{W}^{p+1})_{j+1} = \vec{W}^{p+1/2} + \tau \frac{A_3}{h_3} \left\{ \alpha \lambda_3 (\vec{W}^{p+1})_j + \beta \lambda_3 (\vec{W}^{p+1/2}) \right\} + \tau \phi_2 \vec{B}^{p+1/2}. \quad (20)$$

В качестве нулевой итерации ( $i=0, j=0$ ) выступает решение, построенное по явной схеме метода покомпонентного расщепления. Все неизвестные величины представим в виде сплайн-функций. Применение аппарата сплайн-функций дает возможность записать новые более точные разностные выражения для дифференциальных операторов  $\lambda_n(\dots)$ , входящих в состав схемы расщепления. Это позволяет повысить, как минимум на порядок, точность вычислений по координатам [2-4].

**Численные результаты.** Рассмотрим задачу об определении температурного поля и связанного с ним нестационарного термоупругопластического напряженно-деформируемого состояния цилиндрического тела. Для определения компонентов тензоров напряжения  $\sigma_r, \sigma_\varphi, \sigma_x, \sigma_{r\varphi}$ , деформации  $\varepsilon_r, \varepsilon_\varphi, \varepsilon_{r\varphi}$  и компонентов вектора скорости перемещений  $v_r, v_x$  на полном шаге по времени использовались расчетные формулы метода покомпонентного расщепления повышенной точности. Все искомые величины задавались в форме напряженного сплайна по координатам. При этом температура  $T$  в каждый момент времени определялась из решения уравнения теплопроводности с учетом величин  $\sigma_{ij}, \varepsilon_{ij}$  ( $i, j = r, \varphi, x$ ), определенных на предыдущем шаге по времени.

На рисунках 1 и 2 показано распределение температуры по радиусу в торце валка блюминга для фиксированных моментов времени. Сплошные линии получены при помощи метода покомпонентного расщепления повышенной точности, пунктирные – аналитическим, методом и точечные линии – с помощью конечно-разностного метода.

Здесь задавалось  $\tau_* = a\tau/h^2 = 0,05$ , а безразмерное время определялось как  $t = n\tau_*$  ( $n = 0; 1; \dots$ ). Полученные результаты позволили сравнить вычислительную эффективность примененных методов расчета и сделать такие выводы.

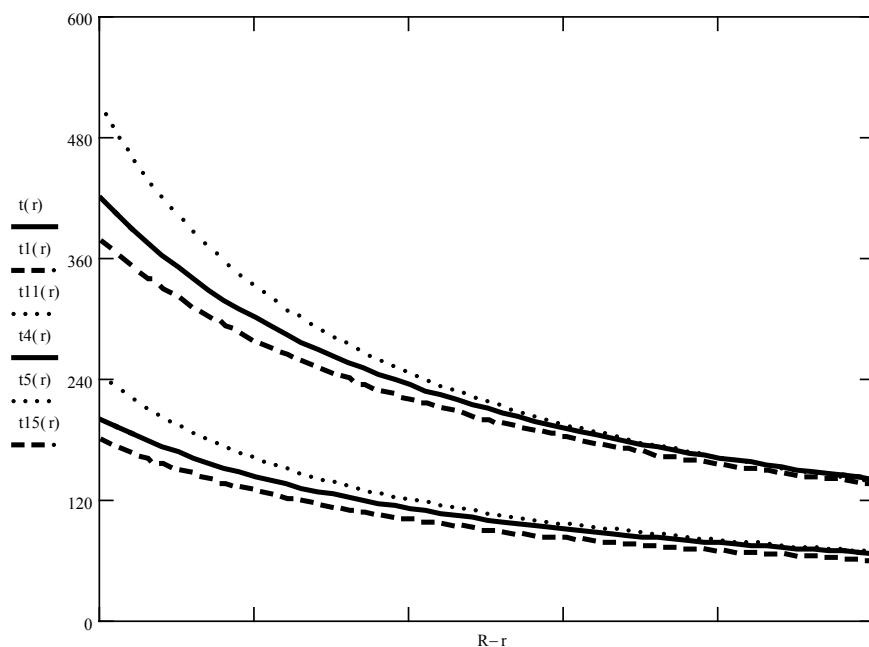


Рисунок 1

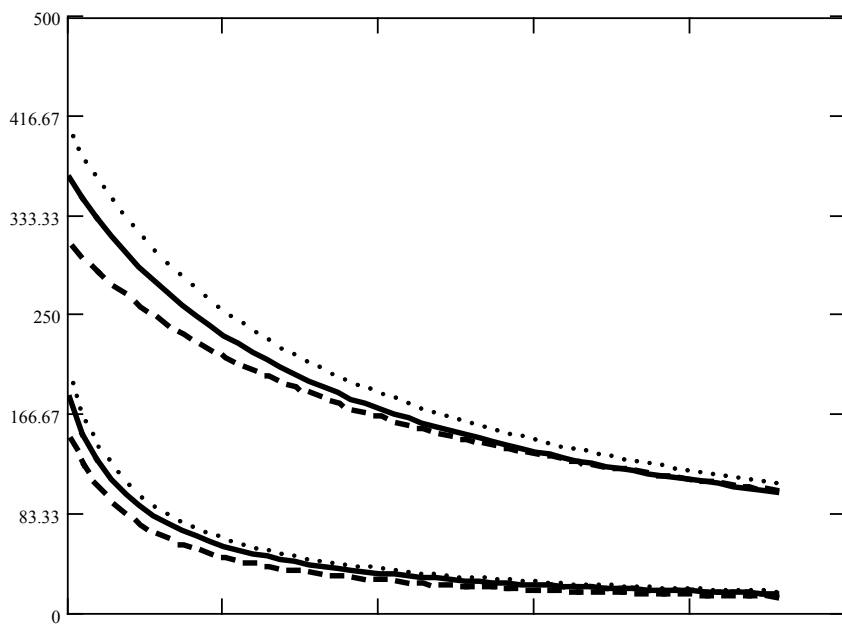


Рисунок 2

### Выводы

Расчеты показывают, что интенсивность температурных напряжений в поверхностном слое валков значительно превышает предел текучести материала и, следовательно, является решающим в появлении сетки поверхностных трещин. Валки выдерживают большие напряжения потому, что они являются сжимающими и направлены вдоль оси валка, а также действуют в тонком поверхностном слое. Температура поверхности валка при наиболее длительном времени контакта ( $t=0,165$  с) достигает  $450^{\circ}\text{C}$ .

Сравнение результатов с аналогичными результатами, полученными при помощи метода покомпонентного расщепления повышенной точности и конечноразностного метода, показало хорошее совпадение результатов (расхождение по температуре до 3,5%) в окрестности средины валка, а по мере приближения к краю, где состояние является заведомо неодномерным по осевой и радиальной координатам, результаты могут существенно отличаться. В окрестности края валка, для расчетов температурного напряженно-деформированного состояния целесообразно применять метод покомпонентного расщепления повышенной точности, поскольку он дает более точные результаты в узлах пространственной сетки, чем конечноразностный метод.

Получены рекуррентные формулы неявной схемы метода расщепления для определения температуры, скоростей перемещений, напряжений и деформаций, позволяют получить соответственно третий и четвертый порядок аппроксимации метода по координатам.

#### **ЛИТЕРАТУРА**

1. Боли Б., Уэйнер Д. Теория температурных напряжений М.:Мир, 1964. - 517 с.
2. Крылова Т.В., Лигун А.А. Асимптотические оценки погрешности приближения функций интерполяционными напряженными сплайнами // Теория приближения.- Днепропетровск, 1994.-С.63-64.
3. Стеблянко П.А. Пространственные нестационарные задачи теории термоупругопластичности. – К.: ИМ НАН Украины, 1997. – 273 с.
4. Стеблянко П.А. Методы расщепления в пространственных задачах теории пластичности. – Киев: Наукова думка, 1998. – 304 с.
5. Стеблянко П.О., Волосова Н.М. Зв’язана задача для попередньо стиснутого циліндра при крутячому моменті, що циклічно змінюється // Системные технологии.–Вып.2(19).–Днепропетровск. Сист.техн., 2001.–С. 94 – 102.
6. Стеблянко П.О., Волосова Н.М. Урахування ефекту тепловиділення у двумірній нестационарній задачі теорії термопластичності для товстостінного циліндра // Вестник Кременчужского государственного политехн. университета. Вып. 3/2002 (14).-Кременчуг: 2002.-С.133-135.
7. Шевченко Ю.Н., Савченко В.Г. Механика связанных полей в элементах конструкций. Т.2.Термовязкопластичность.–Киев:Наукова думка,1987.– 264с.
8. Steblyanko P.A. The method of decomposition in the non-stationary space problems of the theory of plasticity. – K.: SMC HE, 2000. – 159 p.
9. Steblyanko P. A., Volosova N. N. Non-stationary 2D and 3D coupled problems of the theory of thermoplasticity //System technologies. – 2(13).– Dnepropetrovsk, 2001. – P. 174 – 181.